

火烧油层技术开采重油油藏

沈 燮 泉

(石油勘探开发科学院热采所)

1994 年 9 月 北京

火烧油层技术开采重油油藏

摘要

本文介绍火烧油层技术的驱油机理、特点及实用性，并概述据此机理建成的我国火驱物理模型配套装置及其功能；利用该模拟装置对我国300~500m浅层、3~6m薄层、6000~10000mPa·s重油油藏的油样进行了燃烧参数的筛选试验，并获得了该油田实施火驱开采可行性研究的成果。最后的研究结论是：

(1) 该配套装置较好地模拟了油层燃烧过程的热平衡条件，试验结果能有效地用于火驱数值进行效果预测和开发设计，以及指导现场火驱实施。

(2) 证明了类似上述油藏特性的油田，利用火驱开发是可行的，其采收率可达49.7%， $AOR = 3385 \text{m}^3(\text{空气})/\text{m}^3(\text{油})$ 。

(3) 火烧油层技术具有综合驱油的特点，是一种充分利用石油资源较彻底的开采技术，特别用于开采残余油藏更具有发展潜力，因为残余油各油田是大量存在的。

引言

根据采收率筛选标准，蒸汽驱的适用油层厚度应大于6m，而较薄的重油油藏是大量的。为了充分利用重油资源的目的，对我国一个薄、重油藏在火烧油层(火驱)物模和数模试验研究的基础上，进行了该油藏特征的火驱可行性研究，其研究结果具有现实的意义。

火驱驱油机理和特点

火驱是提高油田采收率的重要方法之一。它与其它采油方法不同之处，在于它是利用油层本身的部分裂化产物作燃料，不断燃烧生热，依靠热力等多种驱动的作用，实现提高采收率的目的。

其驱油机理(图1)是：首先把注入井的油层点燃，并不断向油层内注入氧化剂助燃，形成一个移动的燃烧前缘，热源前方的原油受热降粘、蒸馏，蒸馏后的轻质油汽和燃烧烟气驱向前方；未被蒸馏的重质碳氢化合物在高温下产生裂化分解，最后留下的裂化产物(焦炭)，作为维持油层继续燃烧的燃料，使油层燃烧不断蔓延，在高温下油层束缚水，注入水及燃烧生成水变成蒸汽，携带热能

传递给前方油层。从而形成多种驱动作用的复杂过程，把原油驱向生产井。

从其驱机油机理不难看出，它具有以下综合性：

(1) 具有注气保持油层压力的特点，其面积波及系数比气驱高，五点井网气驱为45%，火驱为70%。

(2) 具有水驱相似的面积波及系数，但它的驱油效率比水驱要高得多。

(3) 具有蒸汽驱和热水驱的作用，但火驱的热效率更高。同时，由于裂化结果，提高了产物轻质油成分。

(4) 具有注入 CO_2 的性质，但节省了制造 CO_2 的配套设备。

(5) 具有混相驱降低原油界面张力的作用，但它的驱油效率和波及系数较混相驱高得多。

由于火驱的热源是移动的，因此它的井网、井距不像化学驱、蒸汽驱那样受到严格限制。

火驱物理模型配套装置

物理模型是研究火驱的基础，为了对现场火驱实施方案提供科学依据，根据其驱油机理，设计研制了如图2所示的管状物模配套装置。其主要

注：油藏基本特征和井网距部分由河南石油勘探局提供，深表谢意。

结构为：装砂内径(D_i)170mm，装砂长度(L)2000mm，轴向上装有11对温度补偿器和11对多点温度和压力传感器；利用气相色谱仪自动分析进出口气体的组分，利用气体质量流量控制器、湿式流量计分别控制和测量进出口气体流量，利用微机系统实现温差控制、数据采集及数据处理。物模装置可轴向转动±60°倾角。

火驱管状物模的关键在于模拟实际油层在燃烧过程中的热平衡条件。这是因为火驱热源是移动的，燃烧前缘的温度很高(400~800℃)，若不模拟实际油层的热平衡条件，则模拟试验中的径向热损失要比实际油层大得多。欲使燃烧持续下去，必须要使燃烧速度比实际油层快得多才行。这样，模拟试验的结果就失去了指导现场的意义，也就失去了提供火驱物模进行动态预测和方案设计的价值。因此，能否模拟实际油层的热平衡条件，是衡量火驱物模水平的关键。对火驱管状模型而言，只要模拟了径向热平衡条件，则轴向就与实际油层一致了。

1. 模拟热平衡条件

模拟热平衡条件基于如下假设。

(1) 在单位体积油层内发生的热传导过程是一维的，在任一横截面上的温度分布是均匀的。

(2) 除热传导外，无其它形式的导热。

(3) 径向温度分布是线性的。

根据上述假设，按传热学原理，先计算实际油层在燃烧过程中，单位体积油层在单位时间内向顶、底盖层的热损失；有

$$Q_p = (K_o/H_o + K_d/H_d)(T_i - T_p)/H \quad (1)$$

Q_p 的单位为(kJ/(h·m³))。

计算模型装置在燃烧过程中，每一测量控制段(热补偿器)单位体积油砂在单位时间内的径向热损失为

表 1 零区油藏特征及流体物性表

油 藏 特 征	油层倾角	11.3°	油层深度	327~385m
	油层厚度	5.45 m	孔隙度	33%
	渗透率	2.5 μm²	含油饱和度	60%
	油层温度	31 °C	油层压力	3.5 mPa
油 体 物 性	顶底盖层岩性	泥质砂岩和泥质粉砂岩		
	平均厚度	3.3 m 油层密封性好		
	油层原油粘度	6000 mPa·s	脱气原油粘度	10000 mPa·s
	原油密度	0.95 T/m³	沥青胶质含量	31.5%~42.7%
物 性	含蜡量	6%	含 硫 量	0.25%
	凝结点	0~8 °C	原油发热量	42856 kJ/kg

$$Q_m = 2K_s \Delta t / R_i^2 \ln(R_o/R_i) \quad (\text{kJ/h} \cdot \text{m}^3) \quad (2)$$

热平衡条件时：

$$Q_p = Q_m \quad (\text{°C})$$

$$\Delta t = \frac{R_i \ln(R_o/R_i)}{2K_s H} (K_o/H_o + K_d/H_d) \cdot (T_i - T_p) \quad (\text{°C}) \quad (3)$$

式(3)中： K_s 、 K_o 、 K_d ：分别为模型壳体、顶盖层、底盖层的导热系数(kJ/h·m·°C)；

H 、 H_o 、 H_d ：分别为实际油层顶底盖层厚度(m)；

T_i 、 T_p ：分别为油层燃烧过程不同位置温度和原始温度，(°C)；

R_i 、 R_o ：分别为管状模型内、外半径(m)。

将方程(3)编制成软件，利用微机程序系统跟踪控制燃烧过程每一测温控制段内外壁的温差，以实现模拟实际油层在燃烧过程的热平衡条件。测温控制段越短，模拟也越精确。

2. 火驱管状模型配套装置的主要功能：

(1) 能模拟实际油层的热平衡条件；

(2) 能模拟油层倾角对火驱的影响；

(3) 能进行燃烧方式、燃烧参数等筛选实验的研究；

(4) 能进行燃料生成量及燃料利用量影响因素的实验研究；

(5) 能进行燃烧机理，包括燃烧前缘位置与产液量变化规律等实验研究；

(6) 能进行火烧增产、增注及焦化防砂技术等实验研究。

火驱可行性研究

利用这套火驱物模和火驱数模，对河南井楼油田零区薄、重油藏进行了火驱可行性研究。

油藏基本特征和井网井距

零区位于井楼鼻状构造中部,构造由东向西抬高,倾角11.3°(图3)。目的层为第三系Ⅲ砂层组,埋藏深度327~385m,平均油层厚度5.45m,孔隙度0.33,含油饱和度0.6,渗透率 $2.5\mu\text{m}^2$,原油密度 0.95kg/cm^3 ,油层粘度 $6000\text{mPa}\cdot\text{s}$,脱气粘度 $10000\text{mPa}\cdot\text{s}$,胶质沥青含量31.5%~42.7%,凝固点 $0^\circ\text{C}\sim8^\circ\text{C}$,发热值 42856kJ/kg (表1)。顶、底盖层为泥质砂岩和泥质粉砂岩,平

均厚度3.3m,油层密封性好。

试验区由已完钻的13口井组成4个反五点井网,注采井距100m,生产井距141m,面积8公顷,地质储量85816吨(图3)。

模拟试验结果

利用试验区油样,模拟试验结果见表2。

表2 零区原油物模试验结果表

(1)油样自燃温度	413 °C
(2)燃料生成量	$30\sim37\text{kg/m}^2$,占储量的9.2%~11.4%
(3)燃烧参数筛选结果	
·合理通风强度	$0.5\sim3\text{m}^3/\text{h}\cdot\text{m}^2$
·燃烧速度	$0.002\sim0.114\text{m/d}$
·燃烧率	$358\sim600\text{m}^3(\text{空气})/\text{m}^3(\text{油砂})$
·风水比(AWR)	$400\sim800\text{m}^3(\text{空气})/\text{m}^3(\text{水})$
·产液规律	见图4、5、6、7

表3 各阶段燃烧参数预测结果表

火线距离 r_i-R_i m	燃烧体积 $v_i=\pi(R_i^2-r_i^2)hp$ m^3	阶段空气质量 $Q_i=V_i A_s$ ($\times 10^4\text{m}^3$)		火线速度 $V_i=\frac{24\varphi_F}{A_i}$ (m/d)		燃烧时间 $t_i=\frac{R_i-r_i}{v_i}$ (d)		平均日注空气量 $q_{Ai}=\frac{Q_i}{t_i}$ ($\times 10^4\text{m}^3/\text{d}$)	通风强度 $\varphi_i=\frac{q_{Ai}}{48\pi R_i h}$ ($\text{m}^3/\text{h}\cdot\text{m}^2$)	
		阶段	累计	平均	最小	阶段	合计		平均	最小
0.1-16	3285.7	164.3	164.3	0.144	0.054	111.1	111.1	1.48	3	1.125
16-32	9857.1	492.9	657.2	0.096	0.054	166.7	277.8	2.96	2	1.125
32-48	16428.5	821.4	1478.6	0.072	0.045	222.2	500.0	3.70	1.5	0.937
48-64	22999.9	1115.0	2628.6	0.0624	0.041	256.4	756.4	4.485	1.3	0.853
64-75	19624.3	781.2	3609.8	0.072	0.05	152.8	909.2	6.422	1.5	1.043
备注		$h=5.45\text{m}, P=0.75, A_s=500\text{m}^3/\text{m}^3$								

表4 温烧阶段动态预测表

燃烧距离 $r-R$ (m)	采收率 $K=\frac{Q_p}{Q_o}$ (%)	燃烧(生产)时间 $t_i=\frac{R-r}{v_i}$ (d)	井组产油量			年产油速度 $V_o=\frac{Q_o}{t_i}$ (m^3/Y)	注入量	耗气(水)量		动力费 $W=AOR \times F_A + WOR \times F_w$ (元/ m^3)	
			可产量 $Q_p=KQ_o$ (m^3)	年产量 $Q_o=\frac{3650Q_p}{t_i}$ (m^3/Y)	日产量 $Q_o=\frac{Q_p}{t_i}$ (m^3/D)			空气 $Q_A=VA_i$ ($\times 10^4\text{m}^3$)	水量 $Q_w=\frac{Q_A}{AWR}$ ($\times 10^4\text{m}^3$)		
0.1-16	5.1	111.1	1094.1	3594.5	9.85	5.1	164.3	—	1501.7	—	45.1
16-32	9.9	166.7	2124.0	4650.7	12.74	21.68	492.9	0.821	2320.8	3.9	73.5
32-48	11.8	222.2	2531.5	4158.5	11.40	19.4	821.4	1.369	3244.7	5.4	102.7
48-64	10.3	256.4	2209.7	3145.7	8.62	14.66	115.0	1.917	5204.3	8.7	164.8
64-75	7.6	152.8	1630.5	3894.8	10.67	18.15	981.2	1.635	6017	10.03	190.5
井组合计平均	44.7	909.2	9589.8	3850	10.55	17.94	3609.8	5.742	3764	6.0	118.9
备注	反五点井网,注采井距100m,井组储量 $Q_o=21454\text{m}^3$, $A_s=500\text{m}^3(\text{气})/\text{m}^3(\text{油层})$,风水比 $AWR=600\text{m}^3(\text{气})/\text{m}^3(\text{水})$,体积波及系数0.6, $f_A=0.03\text{元}/\text{m}^3(\text{气})$, $f_w=1.0\text{元}/\text{m}^3(\text{水})$										

表 5 火烧井组综合经济指标

井组	采收率 K%	燃烧(生 产)时间 t_i	产油量		年采油 速度 S_p $= \frac{365Q_p}{t_i Q_o}$	注入量		耗空气(水)量		动力费用 $W = AOR f_A + WOR f_w$ 元/m ³ (油)
			可采量 $Q_p = KQ_o$ m ³	日产量 $Q_s = \frac{Q_p}{t_i}$ m/d		空气 $Q_A = V A$, $\times 10^3 \text{ m}^3$	水量 $Q_w = \frac{Q_A}{AWR}$ $\times 10^4 \text{ m}^3$	耗空气 $AOR = \frac{Q_A}{Q_p}$ $\text{m}^3(\text{气})/\text{m}^3(\text{油})$	耗水 $WOR = \frac{Q_w}{Q_p}$ $\text{m}^3(\text{气})/\text{m}^3(\text{油})$	
湿烧	44.7	909.2	9590	10.6	17.95	3609.8	5.742	3764	6.0	116.9
余热驱	5.0	144.5	1073	7.4	12.63	/	7.95	/	7.4	7.4
合计(平均)	49.7	1053.7	10663	10.12	17.22	3690.8	6.537	3385	6.13	107.7
备注	地质储量 $Q_o = 21453.6 \text{ m}^3$, $F_A = 0.03 \text{ 元}/\text{m}^3(\text{空气})$, $F_w = 1.0 \text{ 元}/\text{m}^3(\text{水})$									

产液规律一般为:当燃烧前缘为注采井距20%~30%时,开始产液见效;当40%~60%时,热效明显,产量成十倍地增长,原油密切、粘度下降,含水率和水中Cl⁻、SO₄²⁻、Fe²⁺离子增加,pH值下降;当75%时,产油量下降,含水率上升快,85%的油量已被产出;当85%时,油井井底温度上升快,原油粘度增加,乳化严重,含水率高达85%(图4~图7)。

根据燃烧前缘位置的上述变化规律,为防止油井高温损坏,减少腐蚀,保证原油质量,降低风油比(AOR),应选择燃烧前缘位置为注采井距75%时,停止注汽,改为注水,以充分利用油层的余热,将剩余原油驱向生产井为宜。

利用火驱数模,按零区油藏特征和物模筛选资料,对注采井距为100m的一个反五点井组干式和湿式燃烧阶段采收率预的结果见图8和表3~表5。

选择的平均通风强度(φ)1.3~3 m³/hm²之间,燃烧率(A_s)500m³(空气)/m³(油砂),风水比(AWR)600m³(空气)/m³(水),垂直燃烧率(E_v)75%,波及系数(E_R)60%,燃烧前缘距离(L)75m的条件下,采收率(E_c)44.7%,耗气量(AOR)3764m³/m³,耗水量(WOR)6m³/m³,累计燃烧时间(ΣT)909天(表3和表4)。

注水利用余热阶段的效果是根据现场统计资

料,我国两个燃烧井组注水利用余热的采收率分别为5.1%和9.1%,罗马尼亚8个井组提高采收率在4%~9%之间。根据零区油藏特性和燃烧前缘距离,在注水强度10m³/d·m,注水量为剩余孔隙体积2倍(即为7948m³)条件下,取采收率统计低值5%计算,注水余热利用阶段的耗水量(WOR)为7.4m³/m³,开采时间144.5天。其综合效果为最终采收率49.7%,开采时间1053.7天,耗气量(AOR)为3385m³/m³,耗水量(WOR)为6.1m³/m³。与零区目前蒸汽吞吐油气比(OSR)0.43m³/m³、采收率17%比较,火驱的动力费用低28%,采收率约高3倍。

结 论

(1)研制的火驱管状物理模型配套装置,采用了维机程序跟踪控制和温度、压力、注、产气量等参数的控制、采集、处理系统,并用气相色谱仪对注、产气的组分含量进行监测、处理。模型可以用于火驱机理、燃烧参数、燃烧方式及对火驱效果影响因素的实验研究。

(2)研究结果表明,类似井楼零区的薄、重油特性油田,用干、湿燃烧结合的开采方式是可行的。该研究成果具有指导意义。

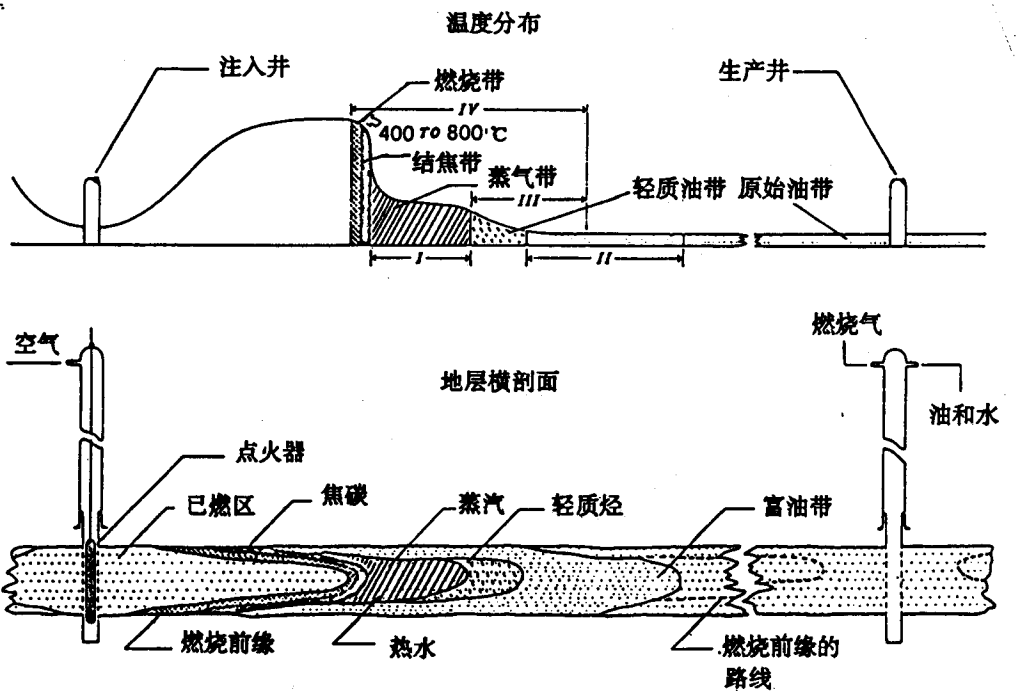


图 1 正向燃烧驱油机理示图

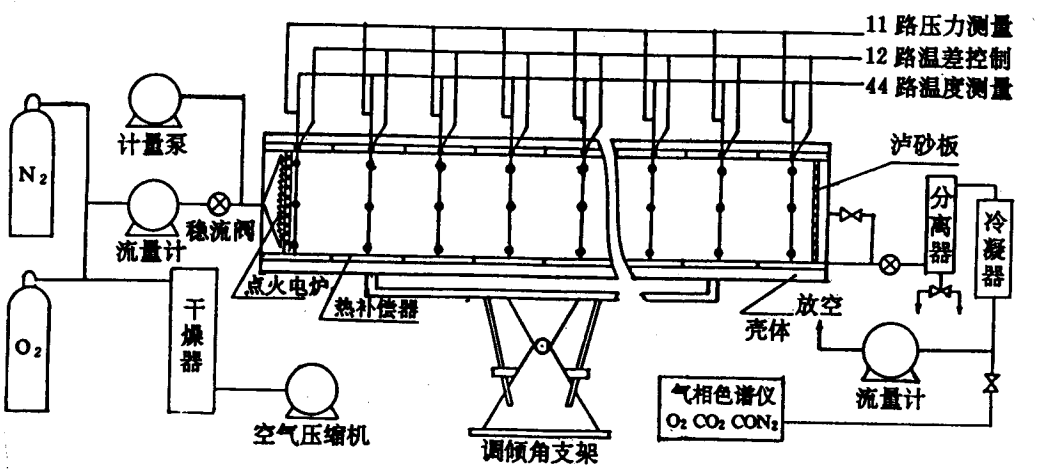


图 2 火驱管状模型流程示图

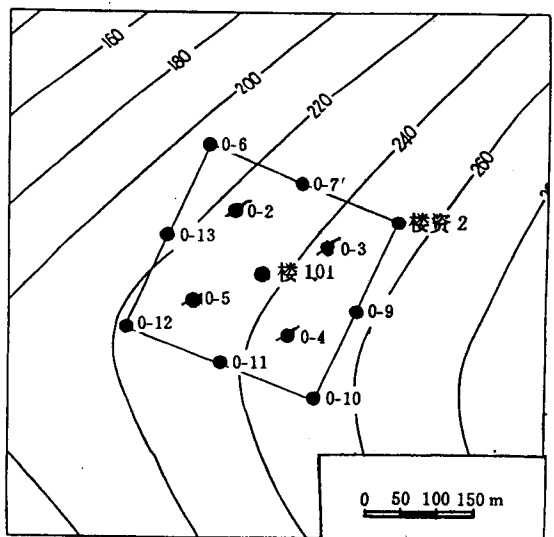


图 3 井楼零区试验区构造井位图

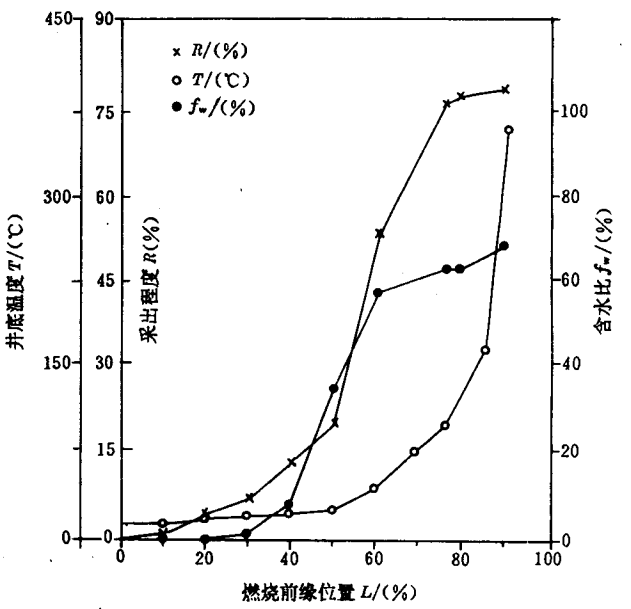


图 4 燃烧前缘位置与产量、温度、含水率关系曲线

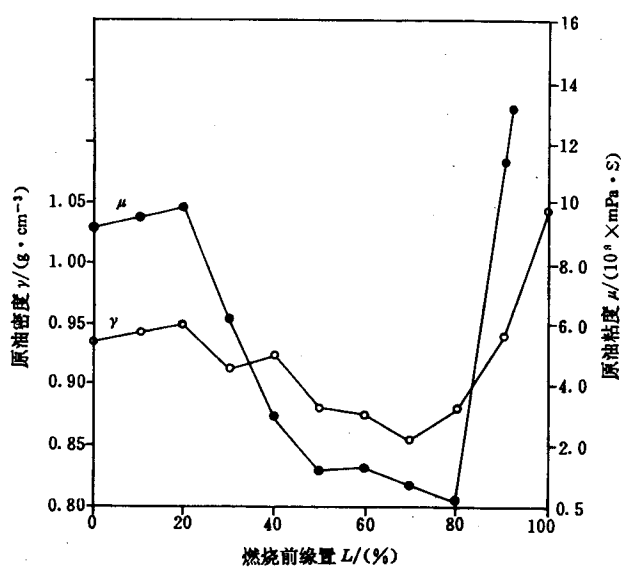


图 5 燃烧前缘位置与原油密度、粘度关系曲线

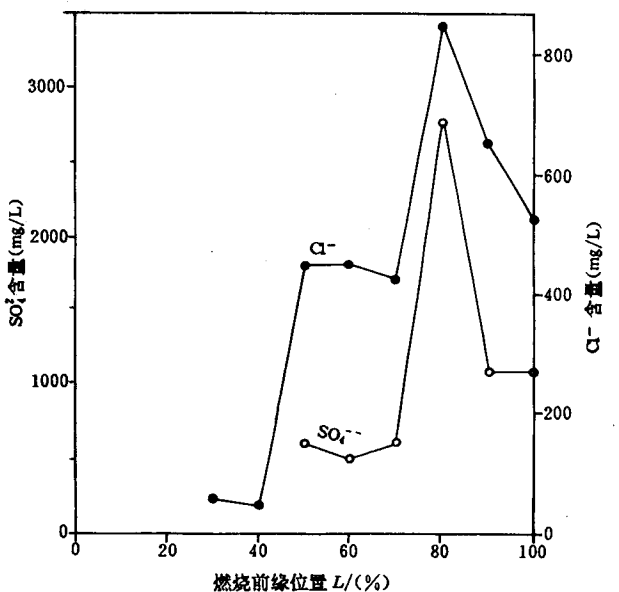


图 6 燃烧前缘位置与水中 Cl⁻、SO₄²⁻ 变化曲线

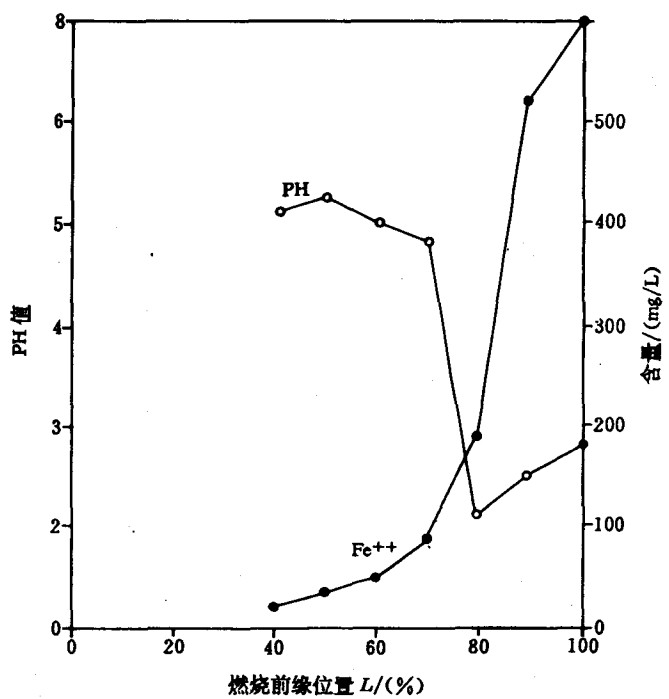


图 7 燃烧前缘位置与水中 pH 值 Fe^{2+} 变化曲线

石油物探局制图印刷厂
照排印刷